

Bilard protonowy w LHC

Rafał Staszewski

Instytut Fizyki Jądrowej PAN

11 czerwca 2024

Streszczenie

Proton–proton elastic scattering at high energy is a process with simple kinematics but surprisingly complex dynamics. Measurements of these processes at particle colliders require dedicated detectors and unusual measurement conditions.

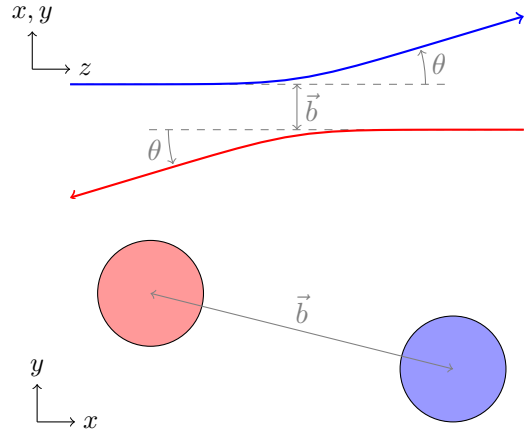
In the article, I describe the physics of elastic processes and the experimental method in the context of the measurement performed by the ATLAS Collaboration at the LHC accelerator. I present the key elements of the data analysis and discuss the consequences of the obtained results for our understanding of the strong interactions.

Rozpraszanie elastyczne proton–proton przy wysokich energiach jest procesem o prostej kinematyce, lecz zaskakująco złożonej dynamice. Pomiar tych procesów na zderzaczach cząstek wymagają dedykowanych detektorów oraz nietypowych warunków pomiarowych.

W artykule opisuję fizykę procesów elastycznych oraz metodę eksperymentalną w kontekście pomiaru wykonanego w ramach Współpracy ATLAS na akceleratorze LHC. Przedstawiam kluczowe elementy analizy danych, a także omawiam konsekwencje uzyskanego wyniku dla naszego zrozumienia oddziaływań silnych.

1. Rozpraszanie elastyczne

W bilarda grał prawie każdy. Uderzając kijem w białą bilę mamy za zadanie uderzyć do łuz bile innych kolorów. Zderzenia kul bilardowych są klasycznym przykładem zderzeń sprężystych, czyli takich, w których zachowany jest nie tylko pęd, ale również energia kinetyczna. Zderzenia sprężyste występują również w świecie kwantowym, choć w tym kontekście częściej używa się nazwy *rozpra-*



Rysunek 1: Ilustracja podstawowych wielkości opisujących rozpraszanie elastyczne: parametru zderzenia i kąta rozproszenia.

szanie elastyczne. Proces ten jest jednym z podstawowych narzędzi badania cząstek i ich oddziaływań. Metodę tę wykorzystuje się również przy zderzeniach protonów o najwyższych energiach na akceleratorze LHC w Europejskiej Organizacji Badań Jądrowych CERN w Szwajcarii. W badaniach tego typu, prowadzone w ramach eksperymentu ATLAS [1], zaangażowana jest grupa z Instytutu Fizyki Jądrowej PAN w Krakowie. Niniejszy artykuł opisuje pomiar rozpraszania elastycznego w zderzeniach proton–proton przy energii 13 TeV [2].

Kinematyka oddziaływania elastycznego jest bardzo prosta w układzie środka masy – pędy cząstek zmieniają kierunek, ale nie zmieniają wartości (długości wektora). Kąt pomiędzy prędkością początkową i końcową nazywany jest kątem rozproszenia. Ważną wielkością jest parametr zderzenia b , który definiuje się jako odległość poprzeczną pomiędzy początkowymi torami cząstek (rysunek 1). Im mniejszy parametr zderzenia, tym większe mogą być kąty rozproszenia.

W przeciwieństwie do zderzeń na stole bilardo-

wym, elastyczne zderzenia protonów, $pp \rightarrow pp$, zachodzą w trzech wymiarach. Aby w pełni opisać konkretny przypadek takiego oddziaływania potrzebne są dwa kąty: kąt polarny θ i kąt azymutalny φ . Kąt φ zazwyczaj nie jest specjalnie interesujący, ponieważ często w eksperymentach przy najwyższej energii, na przykład na akceleratorze LHC, ale i na wielu wcześniejszych akceleratorach, wiązki protonowe nie są spolaryzowane. Wtedy rozkład φ jest zawsze jednorodny i nie można się z niego dowiedzieć niczego na temat zachodzących oddziaływań.

Cała dostępna informacja o dynamice procesu jest zawarta w rozkładzie kąta polarnego, nazywanego po prostu kątem rozproszenia. Ponieważ wartość tego kąta zależy od wyboru obserwatora, w praktyce zamiast niego używa się tak zwanej zmiennej t Mandelstama. Jest ona zdefiniowana jako kwadrat zmiany czteropędu cząstki podczas rozproszenia:

$$t = (P_k - P_p)^2, \quad (1)$$

gdzie P_p jest czteropędem początkowym, a P_k czteropędem końcowym jednego z protonów (dowolnie którego). Ponieważ zmienna ta jest kwadratem czterowektora, więc jej wartość jest taka sama w każdym układzie odniesienia.

Związek pomiędzy kątem rozproszenia w układzie środka masy i zmienną t wyraża się wzorem:

$$t = -p_0^2(1 - \cos \theta), \quad (2)$$

gdzie p_0 jest energią zderzających się cząstek w układzie środka masy. Dla małych kątów, a takie są najczęściej badane, można zastosować przybliżenie $t = -p_0^2\theta^2$.

Warto zwrócić uwagę, że wartość zmiennej t jest zawsze mniejsza lub równa zero. Dlatego często dla wygody przedstawia się wykresy nie w funkcji t , ale $|t|$ lub $-t$. Równie często używa się zwrotu „małe t ” lub „duże t ”, tak naprawdę mając na myśli wartości bezwzględne: „małe $|t|$ ” i „duże $|t|$ ”.

Oprócz prostej i Lorentzowsko niezmienniczej definicji, ważną zaletą zmiennej t jest jej bliski związek z pędem poprzecznym, czyli pędem prostopadłym do osi zderzenia. W fizyce cząstek standardową konwencją jest wybór układu współrzędnych z osią z w kierunku zderzenia, a osiami x i y w płaszczyźnie poprzecznej, co zostało zostało już wcześniej na rysunku 1. Otrzymujemy wtedy:

$$|t| \approx p^2\theta^2 = p_T^2 = p_x^2 + p_y^2. \quad (3)$$

Powyższy związek jest bardzo istotny ze względu na kwantową naturę badanych procesów. W mechanice kwantowej pędy i położenia są zmiennymi sprzężonymi¹. W kontekście rozpraszania, pędy poprzeczne są sprzężone do parametru zderzenia. Oznacza to, że amplituda rozproszenia w reprezentacji pędowej, $T(\vec{p}_T)$, jest związana z amplitudą w reprezentacji położeniowej, $T(\vec{b})$, poprzez transformację Fouriera:

$$T(\vec{p}_T) = \int T(\vec{b}) e^{i\vec{p}_T \cdot \vec{b}} d^2b, \quad (4)$$

gdzie $\vec{p}_T = (p_x, p_y)$ i $\vec{b} = (b_x, b_y)$. W sytuacji, gdy amplitudy nie zależą od kąta azymutalnego:

$$T(\vec{p}_T) \rightarrow T(t), \quad \text{oraz} \quad T(\vec{b}) \rightarrow T(b), \quad (5)$$

otrzymujemy związek przez zbliżoną do transformacji Fouriera transformację Hankla:

$$T(t) = \int_0^\infty db b T(b) J_0(b\sqrt{t}). \quad (6)$$

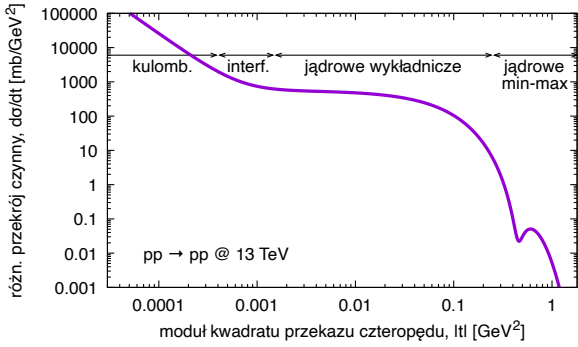
Amplituda $T(b)$ dostarcza informacji o strukturze przestrzennej protonu. W mechanice klasycznej oddziaływania prowadzące do najmniejszych wartości $|t|$ to procesy zachodzące przy dużych parametrach zderzenia, tzn. kiedy protony poruszają się po znacząco oddalonych trajektoriach. W mechanice kwantowej związek ten jest bardziej subtelny i dany właśnie przez równania (4) i (6), niemniej jednak intuicja oparta o mechanikę klasyczną jest ciągle pomocna.

2. Mechanizmy oddziaływania

Przykładowy rozkład zmiennej t jest pokazany na rysunku 2. Tutaj warto wyjaśnić oznaczenie osi pionowej. Jest to różniczkowy przekrój czynny w funkcji t , $d\sigma/dt$. Przekrój czynny jest wielkością powszechnie używaną w fizyce jądrowej oraz fizyce cząstek i jest on niezależną od warunków eksperymentalnych miarą prawdopodobieństwa danego oddziaływania. Różniczkowy przekrój czynny ma się do przekroju czynnego tak jak gęstość prawdopodobieństwa do prawdopodobieństwa, tzn.

$$\int_\Omega \frac{d\sigma}{dt} dt = \sigma_\Omega, \quad (7)$$

¹ W artykule zastosowana została konwencja, w której to samo oznaczenie stosowane jest do matematycznie różnych, ale blisko związanych, funkcji, a ich rozróżnienie jest jednoznacznie dokonywane na podstawie argumentu.



Rysunek 2: Rozkład kwadratu przekazu czteropędu w procesie $pp \rightarrow pp$ przy energii zderzenia 13 TeV w układzie środka masy.

gdzie Ω jest dowolnym podzbiorem możliwych wartości t , a σ_Ω jest przekrojem czynnym na rozpraszanie elastyczne z parametrem $t \in \Omega$. Różniczkowy przekrój czynny związany jest z amplitudą rozproszenia poprzez:

$$\frac{d\sigma}{dt} = \frac{1}{16\pi} |T(t)|^2. \quad (8)$$

Nietrywialny kształt rozkładu t jest konwencją stosunkowo złożonej dynamiki oddziaływań elastycznych protonów przy wysokich energiach. Dla omawianych pomiarów w zderzeniach protonów na akceleratorze LHC przy energii 13 TeV w układzie środka masy, zakres $|t| \ll 7 \cdot 10^{-4} \text{ GeV}^2$ ($\theta \ll 4 \text{ } \mu\text{rad}$) jest zdominowany przez odpychanie pomiędzy ładunkami elektrycznymi protonów, zwane w tym kontekście *oddziaływaniem kulombowskim*. Przy zaniedbaniu innych oddziaływań², wkład ten można bardzo precyzyjnie wyliczyć w ramach elektrodynamiki kwantowej:

$$T_C(t) = 8\pi\alpha\hbar c \frac{G_E^2(t)}{t}, \quad (9)$$

gdzie $G_E(t)$ jest czynnikiem kształtu (ang. *form factor*) protonu, a α jest stałą struktury subtelnej.

Dla $|t| \gg 7 \cdot 10^{-4} \text{ GeV}^2$ dominującym staje się mechanizm oddziaływania jądrowego silnego, określany w tym kontekście po prostu jako *oddziaływanie jądrowe*. Jeśli ograniczymy się dodatkowo do niezbyt dużych wartości $|t|$, $|t| < 0,1 \text{ GeV}^2$,

² W literaturze rozważana jest tzw. *faza kulombowska*, czyli niewielka faza zespolona, którą nabywa amplituda kulombowska jeśli cząstki oddziałują nie tylko elektromagnetycznie, ale i silnie. Jest to efekt inny niż efekt interferencji omawiany w tym artykule. Nie ma jednak powszechnego konsensusu czy rzeczywiście on występuje.

amplituda jądrowa daje się w dobrym przybliżeniu opisać funkcją wykładniczą:

$$T_N(t) = A e^{-B|t|/2} \quad (10)$$

co prowadzi do postaci wykładniczej różniczkowego przekroju czynnego:

$$\frac{d\sigma}{dt} = |T_N|^2 = \frac{A^2}{16\pi} e^{-B|t|}. \quad (11)$$

Dla jeszcze większych wartości $|t|$ obserwuje się charakterystyczną strukturę lokalnego minimum i maksimum (ang. *dip and bump*). Mechanizm jej powstania jest analogiczny do zjawiska dyfrakcji światła widzialnego na małej przeszkodzie, na przykład na cienkim drucie – część padającej fali jest absorbowana, pozostała część podlega interferencji. Z tego podobieństwa bierze się nazwa używana często dla oddziaływania elastycznego, oraz podobnych, zachodzących w zderzeniach proton–proton – procesy dyfrakcyjne. W omawianym kontekście, absorpcja to wszystkie procesy nieelastyczne mogące zająć w zderzeniu. Konkretny kształt struktury minimum i maximum wynika z kształtu amplitudy rozpraszania $T_N(b)$, która jest z kolei związana ze strukturą przestrzenną protonu.

Dla najwyższych wartości t oczekuje się przejścia w reżim tak zwanych oddziaływań twardych, czyli takich dla których skala odległości jest bardzo niewielka. Wtedy, paradoksalnie, oddziaływania silne stają się bardzo słabe³ i oczekuje się, że proces opisywany będzie metodami perturbacyjnymi chromodynamiki kwantowej (pQCD – ang. *perturbative quantum chromodynamics*).

Dla $|t| \approx 7 \cdot 10^{-4} \text{ GeV}^2$ amplitudy oddziaływania kulombowskiego i jądrowego mają podobną wartość bezwzględną i obserwowalne są efekty ich interferencji.

3. Twierdzenie optyczne i parametr ρ

Jedną z istotnych własności jądrowego rozpraszania elastycznego jest jego związek z procesami nieelastycznymi. Wyraża się on przez twierdzenie optyczne:

$$\sigma_{\text{tot}} = 4\pi \text{Im} T_N(0) \quad (12)$$

gdzie σ_{tot} jest całkowitym przekrojem czynnym, czyli przekrojem czynnym na jakiegokolwiek silne

³ Za odkrycie tej własności oddziaływań silnych przyznana została w 2004 roku nagroda Nobla dla Dawida Grossa, H. Dawida Politzera i Franka Wilczka.

oddziaływanie przy tym samym stanie początkowym. Wliczają się do niego zarówno jądrowe procesy elastyczne, jak również wszystkie nieelastyczne, na przykład $pp \rightarrow n\pi^+\pi^0\pi^0\pi^+\pi^-p$. Ten nieoczywisty związek jest konsekwencją unitarności, czyli zachowania prawdopodobieństwa w oddziaływaniach cząstek.

Dzięki twierdzeniu optycznemu można związać parametr A z równania (10) z całkowitym przekrojem czynnym:

$$A = \frac{\rho + i}{4\pi} \sigma_{\text{tot}}. \quad (13)$$

Parametr ρ jest stosunkiem części rzeczywistej do urojonej jądrowej amplitudy rozpraszania dla $t = 0$:

$$\rho = \frac{\text{Re}T_N(0)}{\text{Im}T_N(0)}. \quad (14)$$

Ponieważ wartość ρ jest rzędu 0,1, ma ona niewielki wpływ na różniczkowy przekrój czynny i, w pierwszym przybliżeniu, możemy ją nawet pominąć. Dla $|t|$ wystarczająco dużych by móc zaniedbać oddziaływanie kulombowskie, ale wystarczająco małych by rozkład był z dobrym przybliżeniem wykładniczy, otrzymujemy:

$$\frac{d\sigma}{dt} \approx \sigma_{\text{tot}}^2 e^{-B|t|}, \quad (15)$$

z czego wynika, że

$$\sigma_{\text{tot}} \approx \sqrt{\left. \frac{d\sigma}{dt} \right|_{t \rightarrow 0}}. \quad (16)$$

Widzimy więc, że wprawdzie nie można bezpośrednio zmierzyć urojonej części amplitudy dla $t = 0$, bo odpowiada to zerowemu kątowi rozpraszania, który nie jest dostępny w eksperymentach na zderzających się wiązках, jednak mierząc $d\sigma/dt$ dla $|t| > 0$ i ekstrapolując do $t = 0$, można wyznaczyć σ_{tot} . Stanowi to jedną z głównych motywacji pomiaru opisanego w tym niniejszym artykule.

Całkowity przekrój czynny w zderzeniach proton–proton i jego zależność od energii zderzenia są jednymi z podstawowych własności oddziaływań silnych. Przy obecnym stanie wiedzy nie da się tej wielkości policzyć z zasad pierwszych. Wprawdzie oczekuje się, że chromodynamika kwantowa powinna poprawnie opisać oddziaływania silne, jednak nie są znane metody wyliczenia wartości σ_{tot} z tej teorii. A wielkość ta jest bardzo istotna z punktu widzenia modelowania

wszelakich oddziaływań protonów przy wysokich energiach. Modelowanie to wykorzystuje się na przykład przy poszukiwaniu nowej fizyki, czyli zjawisk nie przewidywanych przez obecny Model Standardowy fizyki cząstek, czy w astrofizyce cząstek, przy analizie wielkich pęków atmosferycznych wytwarzanych przez promieniowanie kosmiczne.

Pozostaje jeszcze pytanie skąd znana jest wartość parametru ρ . Jak wiadomo, w mechanice kwantowej prawdopodobieństwa zajścia różnych procesów zależą jedynie od modułu amplitudy i nie da się z nich wyznaczyć jej zespolonej fazy, a z nią właśnie związane jest ρ . Jeżeli jednak mamy do czynienia z interferencją dwóch amplitud, pomiar jest wrażliwy na ich względną fazę. Dokładnie z taką sytuacją mamy do czynienia tutaj. Różniczkowy przekrój czynny jest dany przez koherentną sumę amplitudy kulombowskiej i jądrowej:

$$\frac{d\sigma}{dt} = |T_C(t) + T_N(t)|^2. \quad (17)$$

Dla t w okolicach 10^{-3} GeV² obie te amplitudy mają zbliżone wielkości, a wtedy interferencja jest najlepiej widoczna. Pomiar $d\sigma/dt$ w tym zakresie umożliwia wyznaczenie parametru ρ .

Drugim sposobem na uzyskanie informacji na temat ρ są relacje dyspersji. Podobnie jak twierdzenie optyczne są one konsekwencją zachowania prawdopodobieństwa. Wiązą one ze sobą wartości amplitud rozpraszania przy różnych energiach zderzenia – między innymi wyrażają część rzeczywistą amplitudy przez całkę z jej części urojonej (całkowanie jest po energii zderzenia od progu kinematycznego do nieskończoności).

Relacje dyspersji można również zastosować w drugą stronę. Pomiar parametru ρ oraz całkowitego przekroju czynnego dla skończonych energii może dać więzy na asymptotyczne zachowanie oddziaływań silnych.

4. Eksperyment akceleratorowy

Pomiar rozpraszania elastycznego na akceleratorze LHC nie jest łatwy. Celem jest rejestracja protonów rozproszonych pod kątem nawet pojedynczych mikroradianów, czyli dziesięciotysięcznych części stopnia. Tymczasem w standardowych warunkach pracy akceleratora, wiązki w punkcie oddziaływania mają rozmycie kątowe rzędu 30 μ rad. Oznacza to, że nie da się odróżnić protonu rozpro-

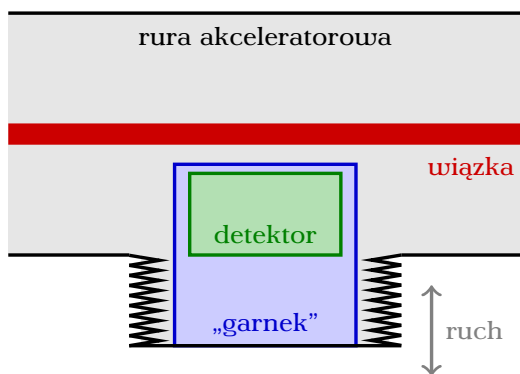
szonemu elastycznie pod tak małym kątem od protonu nieoddziałującego. Można temu jednak zaradzić poprzez specjalne ustawienie pól w magnesach kwadrupolowych kształtujących wiązki. Jest to tak zwana specjalna optyka akceleratora. Używa się tutaj nazwy *optyka*, ponieważ magnesy kwadrupolowe w akceleratorze działają podobnie jak soczewki – mogą skupiać i rozpraszać wiązkę.

W standardowej optyce akceleratora dąży się do maksymalnego skupienia wiązek w punkcie zderzenia, aby zmaksymalizować szansę na zaobserwowanie rzadkich procesów. Skutkuje to jednak dużym rozmyciem kątowym wiązek. Jeśli wiązki skupi się mniej, rozmycie kątowe będzie mniejsze. Zwiększy się za to rozmiar wiązek. Typowym rozmiarem poprzecznym wiązek zderzających się w LHC jest 10 μm . W omawianych tu specjalnych warunkach rozmiar ten wynosi niemalże milimetr, a rozmycie kątowe maleje do 0,2 μrad .

Sama możliwość rozróżnienia protonu rozproszonego od protonów wiązki nie wystarczy. Trzeba jeszcze ten proton zarejestrować. Tu pojawia się kolejna trudność. Ponieważ kąty rozproszenia są bardzo małe, protony pozostają wewnątrz rury próżniowej akceleratora. Co więcej, ponieważ wiązki są teraz szerokie, przez długi czas proton znajduje się wewnątrz samej wiązki.

Aby móc zarejestrować takie protony, korzysta się z techniki tak zwanych rzymskich garnków⁴. Detektory umieszczane są wewnątrz rury akceleratora w stalowym naczyniu. Precyzyjny silnik krokowy umożliwia przysuwanie detektora w pobliże wiązki na czas pomiaru. Wcześniej, to znaczy gdy wiązka jest wstrzykiwana do akceleratora i rozpę-

⁴ Nazwa pochodzi od grupy fizyków z Rzymu, która jako pierwsza zastosowała tę technikę w latach 70-tych na akceleratorze ISR w CERN, oraz od kształtu głównej części urządzenia, przypominającej stalowy garnek kuchenny.



Rysunek 3: Schemat rzymskiego garnka.

dzana, detektory są dla bezpieczeństwa wysunięte poza rurę akceleratora.

Stalowy „garnek” stanowi ochronę ultrawysokiej próżni akceleratora odgradzając ją od wtórnej próżni otaczającej detektory. Wtórna próżnia w niewielkiej objętości rzymskiego garnka nie musi być aż tak wysokiej jakości jak główna próżnia i znacznie łatwiej ją uzyskać. Garnek umożliwia również fizyczny dostęp do detektorów bez naruszania głównej próżni. Schemat rzymskiego garnka pokazany został na rysunku 3.

Detektory ATLAS-ALFA [3], czyli układ eksperymentalny omawianego pomiaru zaprezentowany został na rysunku 4. Składa się on z czterech stacji. Każda stacja składa się z dwóch rzymskich garnków: jednego dosuwanego do wiązki z dołu i drugiego dosuwanego od góry. Aby umożliwić precyzyjny pomiar bardzo małych kątów, detektory umieszczone zostały w odległości aż 237 metrów od punktu zderzenia i dosunięte na zaledwie jeden milimetr od wiązki.

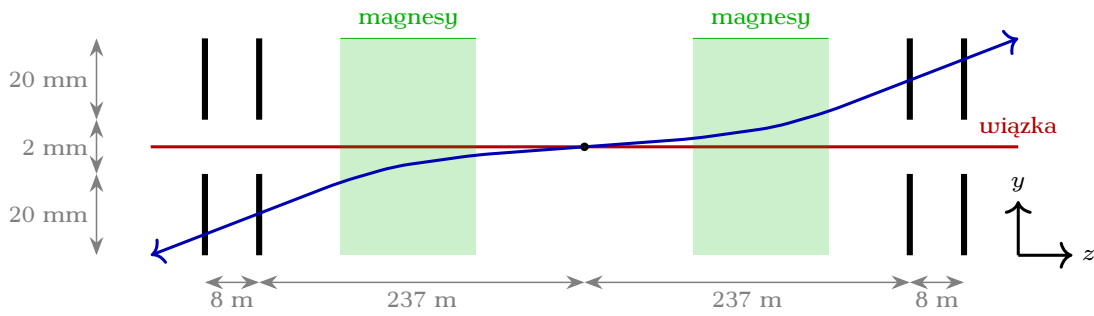
Detektor ma kilka części. Najważniejszą z nich jest detektor główny, którego celem jest pomiar położenia przelatujących protonów. Składa się on z 20 warstw włókien scyntylacyjnych. Włókna mają przekrój kwadratowy o boku długości 0,5 mm. Cząstka naładowana przelatująca przez takie włókno wytwarza w nim scyntylacje światła. Światło propaguje się wzdłuż włókna i dociera do wielokanałowego fotopowielacza. Sygnał z każdego kanału jest odczytywany i digitalizowany przez elektronikę odczytu. Na rysunku 5 pokazane zostały zdjęcia elementów użytego układu doświadczalnego.

Wiedząc które włókna zostały „zapalone”, dostajemy informację o położeniu cząstki. Pojedyncza warstwa dostarcza informacji o pojedynczej składowej trajektorii. Przy wielu warstwach uzyskujemy informację o obu współrzędnych poprzecznych trajektorii oraz lepszą precyzję pomiaru.

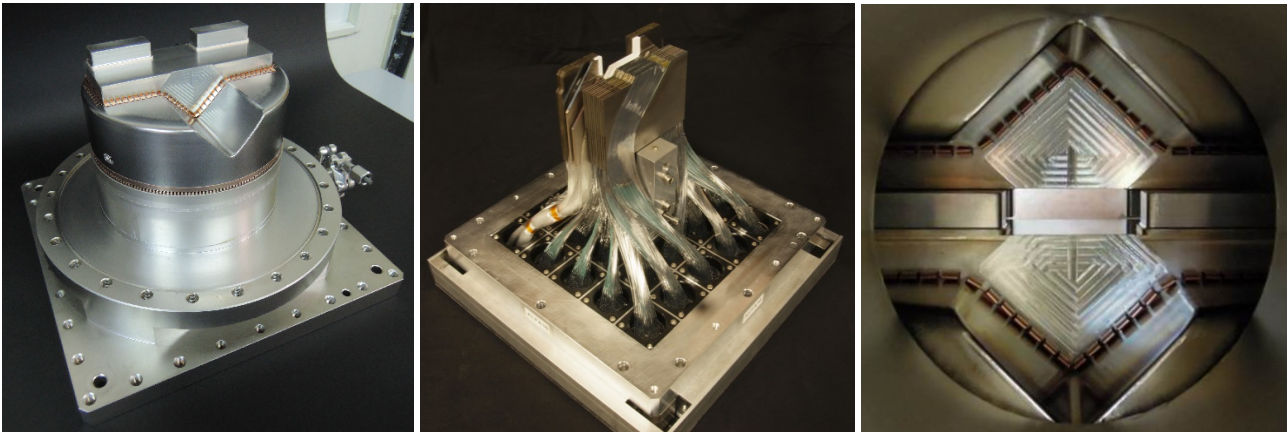
Wspomniana wcześniej optyka akceleratora jest kluczowa nie tylko w kontekście samej możliwości pomiaru, ale również przy wyznaczaniu kąta rozproszenia ze zmierzonego położenia trajektorii. W sytuacji, gdyby pomiędzy punktem zderzenia a punktem pomiaru nie było żadnych pól, mierzona pozycja poprzeczna względem wiązki byłaby równa:

$$\begin{aligned} x &= x_0 + L \cdot \theta_x, \\ y &= y_0 + L \cdot \theta_y, \end{aligned} \quad (18)$$

gdzie (x, y) to współrzędne poprzeczne trajekto-



Rysunek 4: Schemat układu eksperymentalnego detektorów ATLAS-ALFA. Kolorem czarnym zaznaczono stacje detektorowe, kolorem zielonym – magnesy kwadrupolowe, kolorem czerwonym – wiązkę protonową, kolorem niebieskim – protony rozproszone elastycznie.



Rysunek 5: Zdjęcia elementów systemu ALFA. Od lewej: rzymski garnek, detektor scyntylacyjny wkładany do garnka, widok dwóch detektorów – górnego i dolnego – z perspektywy wiązki protonowej. Źródło: [3] oraz materiały własne Współpracy ATLAS-ALFA.

rii w miejscu pomiaru, (x_0, y_0) to współrzędne w miejscu zderzenia, L to odległość wzdłuż osi z pomiędzy punktem oddziaływania i punktem pomiaru, a $\theta_x = \theta \cos \varphi$ oraz $\theta_y = \theta \sin \varphi$. Ściśle rzecz biorąc, kąty θ , φ , θ_x i θ_y w powyższych wzorach są kątami trajektorii w punkcie zderzenia, a nie kątami rozproszenia. Te pojęcia nie są tożsame z powodu rozmycia kąтового wiązki. Rozróżnienie to zostało tu pominięte dla uproszczenia. Zastosowano również przybliżenie małych kątów, które dla rozważanych pomiarów jest całkowicie wystarczające.

W sytuacji, gdy trajektoria protonu przechodzi przez pole magnetyczne, równania (18) przestają być prawdziwe. Okazuje się jednak, że trajektorie protonów rozproszonych elastycznie spełniają podobne, ale ogólniejsze równania:

$$\begin{aligned} x &= \alpha_x x_0 + L_{\text{eff},x} \cdot \theta_x, \\ y &= \alpha_y x_0 + L_{\text{eff},y} \cdot \theta_y. \end{aligned} \quad (19)$$

Parametry $L_{\text{eff},x}$ i $L_{\text{eff},y}$ są często określane mianem odległości efektywnej. Dla omawianego po-

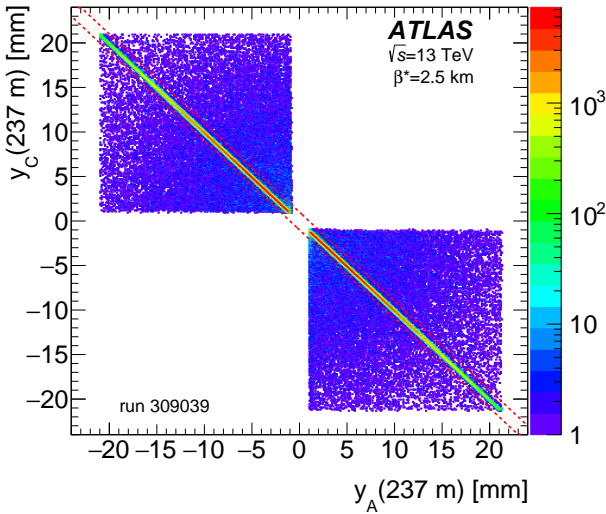
miaru odległość geometryczna L dla bliskich stacji wynosi 245 m, natomiast odległości efektywne mają w przybliżeniu wartości $L_{\text{eff},x} = 33$ m i $L_{\text{eff},y} = 320$ m. Wartość tych parametrów zależy od używanej optyki akceleratora, ma więc ona kluczowy wpływ na wykonywany pomiar. Warto zwrócić uwagę, że choć w procesie rozpraszania żaden z kierunków kąta φ nie jest wyróżniony, to układ doświadczalny wprowadza różnicę między kierunkiem pionowym i poziomym.

5. Analiza danych

Analiza danych jest oparta na własnościach rozpraszania elastycznego. Jak wspomniano wcześniej, kinematyka przypadku takiego oddziaływania jest w pełni opisana przez zaledwie dwa parametry: θ i φ (alternatywnie: θ_x i θ_y). Tymczasem doświadczalnie mierzone jest 8 obserwabli: współrzędne x i y w każdej z czterech stacji detektoro-

wych (por. rys. 4). Mierzone pozycje muszą zatem być silnie skorelowane. Są to korelacje, a nie ściśle zależności, ponieważ dochodzą niepewności pomiarowe, które mogą być niezależne dla każdego mierzonego parametru.

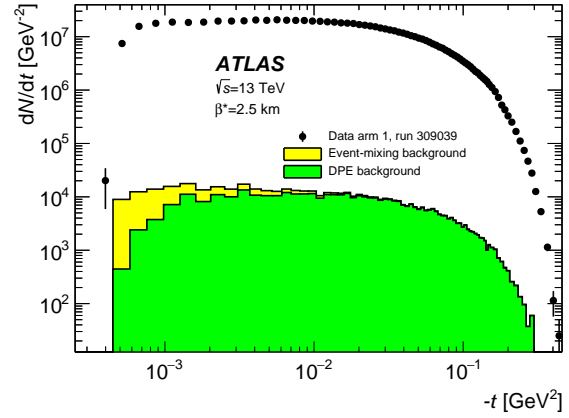
Korelacje te są używane do wyboru interesujących przypadków rozpraszania elastycznego i odrzucania tła, czyli przypadków, które na pierwszy rzut oka mogą wydawać się elastyczne, ale takie nie są. Źródłem takiego tła mogą być procesy nieelastyczne oraz tak zwane *halo wiązki*, czyli protony, które znajdują się z daleka od jej środka.



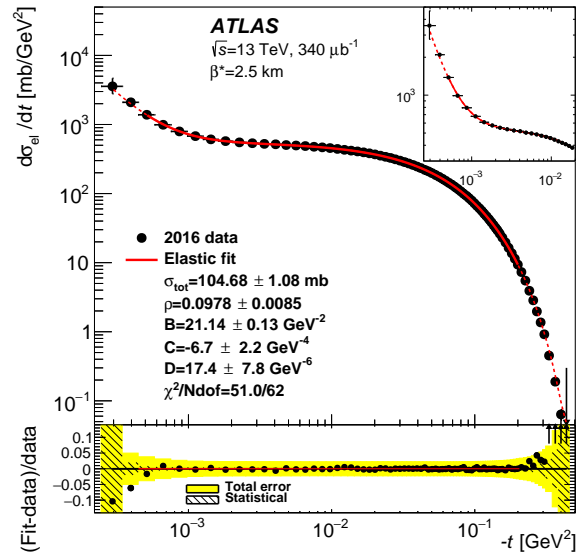
Rysunek 6: Korelacja pomiędzy współrzędną pionową położenia protonów zaobserwowanych po prawej i lewej stronie punktu oddziaływania. Źródło: [2].

Przykłady występujących korelacji:

1. Zasada zachowania pędu skutkuje tym, że dwa rozproszone protony mają przeciwne pędy. Współrzędne położenia obu protonów będą miały zbliżone wartości, ale przeciwny znak. Prowadzi to do bardzo silnej antykorelacji składowych y położenia obu protonów, która pokazana została na rysunku 6.
2. Zasada zachowania energii skutkuje tym, że energia protonów rozproszonych jest zawsze taka sama – równa energii wiązki. Prowadzi to do korelacji pomiędzy położeniem protonu mierzonym w jednej stacji, a kątem trajektorii, mierzonym pomiędzy dwoma stacjami. Korelacja taka jest inna lub w ogóle nie występuje dla protonów, które mają energię inną niż energia wiązki. Symetria między lewą i prawą stroną przypadku może być również wykorzystana przy wyznaczaniu



Rysunek 7: Rozkład t uzyskany bezpośrednio z pomiaru. Źródło: [2].



Rysunek 8: Rozkład t po wszystkich poprawkach. Źródło: [2].

kąta rozproszenia. Oba protony mają przeciwie skierowane pędy, ale to samo początkowe położenie. Biorąc różnicę zmierzonych położenia, wkład od początkowego położenia redukuje się:

$$x_L - x_R = 2L_{\text{eff},x}\theta_x \quad (20)$$

i analogicznie dla współrzędnej y . Z pomiaru położenia obu rozproszonych protonów możemy więc odzyskać kąt rozproszenia, a z niego wartość t .

Wyliczając wartość kwadratu przekazu cztero-pędu dla każdego zarejestrowanego i zakwalifikowanego jako sygnał przypadku można utworzyć rozkład tej zmiennej. Taki rozkład uzyskany z użyciem detektorów ALFA został zaprezentowany na rysunku 7. Otrzymany wynik znacząco różni się

od rozkładu prawdziwego, czyli takiego, jaki użyłoby się dysponując idealnym układem pomiarowym oraz nieskończenie dużą liczbą przypadków. W omawianym pomiarze głównym źródłem błędów są niedoskonałości układu, a więc efekty systematyczne. Są różne oblicza tych niedoskonałości:

1. Jeśli proton znajduje się zbyt blisko wiązki, albo jeśli uderzy w rurę lub inny element akceleratora zanim doleci do detektora, nie będzie mógł być zarejestrowany. Ten efekt nazywany jest akceptancją geometryczną.
2. Nawet jeżeli przypadek był w akceptancji detektora, mógł nie zostać prawidłowo zarejestrowany z powodu zawsze obecnej, choć niewielkiej, niewydajności.
3. Kąt rozproszenia mierzony jest ze skończoną zdolnością rozdzielczą. Wynika to zarówno ze skończonej przestrzennej zdolności rozdzielczej samych detektorów, jak i z niezerowej rozbieżności kątowej wiązek. Efekt ten wpływa nie tylko na błędy statystyczne, ale również na błędy systematyczne. Jest to dobrze znany efekt statystyczny występujący w sytuacji, gdy mierzony rozkład jest stromy. Niepewność pomiarowa powoduje wtedy jego systematyczne wypłaszczenie.
4. Brak absolutnie dokładnej wiedzy o położeniu detektorów względem wiązki protonowej oraz o polach magnetycznych wpływających na wielkość parametrów $L_{\text{eff},x/y}$.
5. Zawsze pozostaje jakaś część tła, której nie udało się odrzucić.
6. Scałkowana świetlność, czyli miara ilości zebranych danych, pozwala na przeliczenie liczby zaobserwowanych przypadków na przekrój czynny. Parametr ten jest zależny od rozmiarów i prądów zderzających się wiązek oraz czasu zbierania danych. Wartość całkowitej świetlności sama jest wynikiem dedykowanego pomiaru i dlatego jest znana ze skończoną dokładnością.

Ponieważ celem jest uzyskanie rozkładu prawdziwego, na zmierzony rozkład nakłada się poprawki mające zniwelować błędy systematyczne. Jeżeli to nie jest możliwe, szacuje się je i uwzględnia w niepewności wyniku. Poprawki wylicza się z użyciem symulacji komputerowych.

Rysunek 8 pokazuje różniczkowy przekrój czynny w funkcji t , czyli rozkład po wszystkich poprawkach. Porównanie z rozkładem niepoprawionym (rysunek 7) pokazuje, że poprawki są absolutnie kluczowe dla uzyskania poprawnego wyniku.

Aby ze zmierzonego rozkładu wydobyć interesujące własności oddziaływań silnych wykonuje się dopasowanie modelu do danych. Zastosowany model jest dany równaniem (17), gdzie T_C dane są równaniem (9) i nie ma wolnych parametrów, a T_N dane jest równaniem wynikającym z równań (10), (13) i (14):

$$T_N(t) = \frac{\sigma_{\text{tot}}(\rho + i)}{\hbar c} e^{-Bt/2}. \quad (21)$$

Parametrami dopasowania są σ_{tot} , B i ρ . Warto zwrócić uwagę na zależność od ρ . T_C w ogóle nie zależy od ρ . $|T_N|^2$ jest proporcjonalny do $1 + \rho^2$, więc wpływ ρ jest niewielki. Natomiast człon interferencyjny pomiędzy T_C i T_N jest wprost proporcjonalny do ρ .

Dopasowanie wykonywane jest metodą najmniejszych kwadratów z uwzględnieniem korelacji pomiędzy niepewnościami poszczególnych punktów. Na przykład niepewność związana z całkowitą świetlnością wpływa w jednakowy, to znaczy wprost proporcjonalny, sposób na cały rozkład. Niepewność z tym związana jest więc w stu procentach skorelowana dla wszystkich wartości t . Zaniedbanie tej konkretnej korelacji miałoby znaczący wpływ na uzyskany wynik dopasowania, w szczególności na niepewność parametru σ_{tot} . Podobne, choć nie tak silne, korelacje występują dla wszystkich źródeł niepewności.

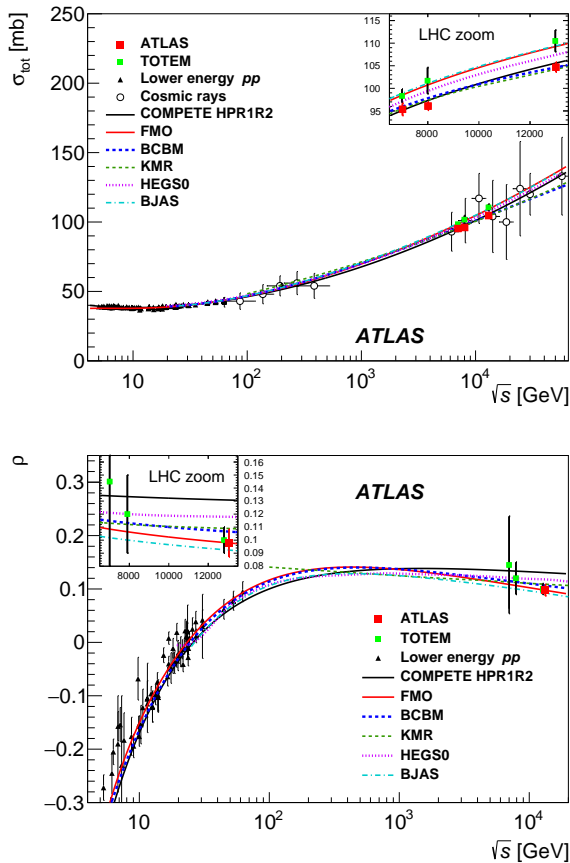
6. Wyniki i ich interpretacja

Najważniejszym wynikiem są uzyskane z dopasowania wartości σ_{tot} i ρ :

$$\begin{aligned} \sigma_{\text{tot}} &= 104,7 \pm 1.1 \text{ mb}, \\ \rho &= 0,098 \pm 0,011. \end{aligned}$$

Głównym źródłem końcowego błędu pomiarowego σ_{tot} są niepewności systematyczne związane z wyznaczaniem całkowitej świetlności oraz położenia detektorów względem wiązki. Przy parametrze ρ dochodzi niepewność związana z wyborem dokładnej postaci amplitudy jądrowej $T_N(t)$.

Rysunek 9 pokazuje porównanie powyższego pomiaru z innymi wynikami eksperymentalnymi oraz z modelami teoretycznymi. Pierwszą interesującą obserwacją jest, że całkowity przekrój czynny rośnie wraz z energią zderzenia. Jest to fakt znany i stosunkowo dobrze opisywany przez różne modele teoretyczne. Można o tym efekcie myśleć jak o



Rysunek 9: Wyniki pomiaru parametrów σ_{tot} (góra) i ρ (dół) wraz z innymi wynikami eksperymentalnymi oraz przewidywaniami teoretycznymi w funkcji energii zderzenia w układzie środka masy, \sqrt{s} . Źródło: [2].

puchnięciu protonu. Jest to spowodowane tym, że przy wyższej energii większe jest skrócenie Lorentza protonów w kierunku ich ruchu, przez co zderzenie trwa krócej. Im krótszy czas oddziaływania, tym bardziej jest ono czułe na krótkotrwałe fluktuacje kwantowe – powstawanie wirtualnych kwarków, antykwarków i gluonów wokół protonu.

Druga ważna obserwacja dotyczy modeli teoretycznych. Okazuje się, że w modelu COMPETE [4], który jest oparty o dwa kluczowe założenia, nie da się jednocześnie opisać zmierzonych wartości σ_{tot} oraz ρ . Te założenia to:

1. Ewolucja σ_{tot} z energią zachowuje się dla energii powyżej tych na LHC podobnie jak dla niższych energii (tzn. jak kwadrat logarytmu energii).
2. Przy energii dążącej do nieskończoności oddziaływania silne protonów z protonami są takie same jak protonów z antyprotonami.

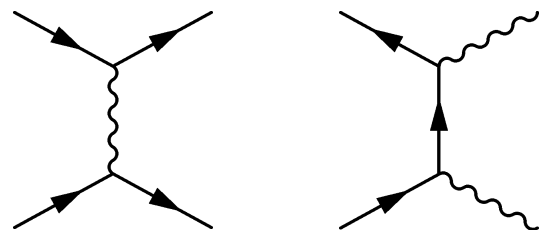
Niezgodność wyniku doświadczalnego z modelami opartymi na tych założeniach oznacza, że (a) wzrost

σ_{tot} z energią zacznie zwalniać, lub że (b) oddziaływanie pp różni się asymptotycznie od oddziaływań $p\bar{p}$. W tym drugim przypadku słowem kluczowym jest *odderon*.

Aby wyjaśnić czym jest odderon należy najpierw omówić pojęcie *trajektorii*, które zostało wprowadzone w ramach teorii Reggego. W fizyce cząstek, w kwantowej teorii pola, oddziaływanie rozumiane jest jako wymiana wirtualnych cząstek. Na przykład oddziaływanie elektromagnetyczne to wymiana fotonu. Przedstawiane jest to często w postaci diagramu Feynmana. Rysunek 10 pokazuje przykładowe diagramy Feynmana dla rozpraszania elektron–mion oraz dla anihilacji pary e^+e^- . Wydawałoby się naturalne, by podobny opis zastosować również do oddziaływań silnych w zderzeniach hadronów (czyli cząstek oddziałujących silnie: protonów, neutronów, pionów, kaonów, ...). Na przykład reakcja $\pi^+n \rightarrow \pi^0p$ mogłaby zachodzić poprzez wymianę pionu π^+ .

Okazuje się jednak, że takie postępowanie prowadzi do błędnych, a nawet bezsensownych, wyników – z rachunków otrzymuje się nieskończone wartości przekrojów czynnych, a z doświadczenia wiadomo, że są one skończone. Co ciekawe, jeśli zamiast wymiany pojedynczej cząstki uwzględni się w obliczeniach całą rodzinę cząstek o podobnych własnościach (tych samych liczbach kwantowych z wyjątkiem spinu i masy), obliczenia dają rozsądne wyniki. Taką właśnie rodzinę cząstek nazywa się trajektorią.

Przy wysokich energiach, w szczególności na akceleratorze LHC, wiodący wkład do rozpraszania protonów ma trajektoria *pomeronu*. W przeciwieństwie do innych znanych trajektorii, nie została ona zapostulowana w oparciu o związane z nią cząstki, ale aby wyjaśnić wspomniany wcześniej wzrost całkowitego przekroju czynnego z energią zderzenia. Oczekuje się, że trajektoria pomeronu



Rysunek 10: Przykładowe diagramy Feynmana: $e\mu \rightarrow e\mu$ (z lewej), $e^+e^- \rightarrow \gamma\gamma$ (z prawej).

związana jest z cząstkami zwanymi *glueballami* – hadronami składającymi się jedynie z gluonów (nie licząc powstających na chwilę w wyniku fluktuacji kwantowych par kwark–antykwar). W chwili obecnej nie mamy jasnej odpowiedzi dotyczącej istnienia i własności glueballi, więc tym bardziej ich związek z pomeronem nie jest pewny.

Ważną cechą pomeronu są związane z nim liczby kwantowe, w szczególności dodatnia parzystość ładunkowa. Konsekwencją tego jest, że przy wysokich energiach, gdzie trajektoria pomeronu jest dominująca nad innymi trajektoriami, oddziaływania pp powinny być takie same jak oddziaływania $p\bar{p}$. Na pierwszy rzut oka może to wydawać się dziwne, ale należy pamiętać, że rozważania dotyczą jedynie oddziaływania silnego, więc znak ładunku elektrycznego nie gra tutaj roli. Dodatkowo, wraz z rosnącą energią struktura protonów i antyprotonów staje się zdominowana przez gluony, więc protony i antyprotony stają się coraz bardziej podobne do siebie.

I tutaj pojawia się *odderon*. Jest to hipotetyczna trajektoria podobna do pomeronu, ale o ujemnej parzystości. Powoduje to, że amplituda rozpraszania związana z odderonem, T_O ma w układach pp i $p\bar{p}$ przeciwny znak. Dodatnia parzystość pomeronu powoduje, że znak jej wkładu do amplitudy, T_P , się nie zmienia:

$$T_{pp} = T_P + T_O \quad (22)$$

$$T_{p\bar{p}} = T_P - T_O \quad (23)$$

Istnienie odderonu oznacza, że oddziaływania pp i $p\bar{p}$ będą się różnić nawet przy asymptotycznych energiach. Warto nadmienić, że chromodynamika kwantowa sugeruje istnienie odderonu, ponieważ przewiduje ona, że gluony mogą tworzyć układy zarówno o parzystości dodatniej jak i ujemnej.

Wykonany pomiar rozpraszania elastycznego niesie informację na temat asymptotycznego zachowania oddziaływań silnych. Niezgodny z wynikami byłby brak odderonu przy całkowitym przekroju czynnym rosnącym równie szybko jak zaobserwowano na LHC i wcześniejszych eksperymentach. Sam ten pomiar nie precyzuje jednak które z tych założeń jest nieprawidłowe⁵.

⁵ Czytelników zainteresowanych tematem zachęcam do zapoznania się z artykułem [5], w którym zaprezentowano pomiary wpływu odderonu w obszarze minimum i maksimum rozkładu t w procesach elastycznych.

7. Podsumowanie

Rozpraszanie elastyczne jest kinematycznie najprostszym procesem zachodzącym w zderzeniach proton–proton, jednak jego dynamika jest zaskakująco złożona. W oddziaływaniu silnym mamy do czynienia ze zjawiskami o naturze dyfrakcyjnej, co prowadzi do struktury minimum i maksimum obserwowanej w rozkładach kątowych. Bardzo istotne jest twierdzenie optyczne wiążące amplitudę rozpraszania elastycznego, która może być rozważana w reprezentacji pędowej i położeniowej, z procesami nieelastycznymi. Ponadto, dla bardzo dużych wartości t oczekuje się przejścia w reżim perturbacyjny. A jakby tego było mało, dla małych wartości t pojawiają się efekty od oddziaływań elektromagnetycznych i zjawiska interferencji pomiędzy oddziaływaniem elektromagnetycznym i silnym.

W pomiarach prowadzonych na akceleratorze LHC zastosowano dedykowany układ eksperymentalny. Pomiary kątów rozpraszania rzędu pojedynczych mikroradianów wymagały zastosowania detektorów umieszczonych 240 metrów od punktu zderzenia i zaledwie jeden milimetr od wiązki, co było możliwe dzięki technice rzymskich garnków. Niezbędne też było użycie specjalnej optyki akceleratora LHC.

Wynikiem badań są podstawowe parametry opisujące oddziaływania silne, w szczególności σ_{tot} i ρ . Są one niezwykle istotne dla celów praktycznych, takich jak modelowanie zderzeń przy wysokich energiach, ale dostarczają również wiedzy na temat tych oddziaływań przy asymptotycznych energiach.

Podziękowania

Bardzo dziękuję prof. Marioli Kłusek-Gawendzie, prof. Januszowi Chwastowskiemu oraz dr. Maciejowi Lewickiemu za cenne uwagi dotyczące artykułu.

Artykuł powstał w wyniku realizacji projektu badawczego SONATA BIS nr 2021/42/E/ST2/00350 finansowanego ze środków Narodowego Centrum Nauki.

References

- ¹ATLAS Collaboration, “The ATLAS Experiment at the CERN Large Hadron Collider”, JINST 3, S08003 (2008).

- ²ATLAS Collaboration, “Measurement of the total cross section and ρ -parameter from elastic scattering in pp collisions at $\sqrt{s} = 13$ TeV with the ATLAS detector”, *Eur. Phys. J. C* **83**, 441 (2023).
- ³S. Abdel Khalek et al., “The ALFA Roman Pot Detectors of ATLAS”, *JINST* **11**, P11013 (2016).
- ⁴J. R. Cudell, V. V. Ezhela, P. Gauron, K. Kang, Y. V. Kuyanov, S. B. Lugovsky, E. Martynov, B. Niculescu, E. A. Razuvaev, and N. P. Tkachenko (COMPETE), “Benchmarks for the forward observables at RHIC, the Tevatron Run II and the LHC”, *Phys. Rev. Lett.* **89**, 201801 (2002).
- ⁵D0 and TOTEM Collaborations, “Odderon Exchange from Elastic Scattering Differences between pp and $p\bar{p}$ Data at 1.96 TeV and from pp Forward Scattering Measurements”, *Phys. Rev. Lett.* **127**, 062003 (2021).